

## المجلة الأردنية للفيزياء

### ARTICLE

### MIS: Au-Ta<sub>2</sub>O<sub>5</sub>-GaAs تأثير جسيمات ألفا في الخصائص الكهربائية لنبائط

سعيد حسن سعيد النعيمي<sup>1</sup>، أطياف صبحي الرواس<sup>2</sup> و صهباء محفوظ بك العباسى<sup>3</sup>

1- قسم الفيزياء، كلية التربية، جامعة الموصل، الموصل، العراق.

2- قسم العلوم الأساسية، كلية طب الأسنان، جامعة الموصل، الموصل، العراق.

3- معهد إعداد المعلمات، مديرية تربية نينوى، نينوى، العراق.

Received on: 16/5/2012;

Accepted on: 27/1/2013

**الملخص:** يهدف البحث إلى دراسة تأثير جسيمات ألفا في الخصائص الكهربائية لنبائط MIS:(Au-Ta<sub>2</sub>O<sub>5</sub>-GaAs) وكذلك تأثيرها في آلية نقل التيار الكهربائي وكيفية تغيره مع طاقة جسيمات ألفا ومع زمن التشيع. فقد تم تحضير هذه النبائط بترسيب طبقة من الذهب سمكها Å 1000 بطريقة التبخير الحراري وتحت ضغط واطني يقرب من torr 10<sup>-5</sup> لتكوين البوابة الفوقيّة لتركيب MIS. وقد شعّت النبائط المحضرّة بجسيمات ألفا من مصدر راديوم Ra<sup>226</sup> ففعاليته 0.5 μCi بمدى طاقات (2-30) MeV لزمان تشيع مختلفٍ ضمن مدي (0-30) دقيقة في درجة حرارة الغرفة وبزاوية صلدة صغيرة لضمان سقوط الجسيمات بشكل عمودي على النبيطة. حيث تم توهين الطاقة الفصوى MeV 5.1 إلى طاقات أقل هي (1.2، 1.8، 3، 4) MeV باستعمال رقائق بوليمرية ثبتت أمام الجسيمات. ولمعرفة كيفية فقدان جسيمات ألفا لطاقتها ومدى التلف الحاصل في النبيطة والنقطة التي يحدث عندها أعظم فقدان للطاقة في النبيطة، فقد تم حساب معدل فقدان في طاقة ألفا وكذلك تحديد مدى الجسيمات في الطبقات الثلاث المكونة للنبيطة المحضرّة في كل من الذهب (Au) وأوكسيد التنتاليوم (Ta<sub>2</sub>O<sub>5</sub>) وأرسيناي德 الكاليلوم (GaAs). أظهرت النتائج وجود تأثير لجسيمات ألفا في الخصائص الكهربائية للنبيطة، وأن هذا التأثير يختلف باختلاف طاقة الجسيمات وزمن التشيع، وأن نمط التغير لا يكون واحداً بل يكون مختلفاً من طاقة إلى أخرى وזמן تشيع إلى آخر. كذلك أظهرت خصائص (تيار- فولتية) أن آلية نقل التيار هي شوتكي في أكثر الحالات للنبيط المشعّعة وبول- فرينكل في بعض الحالات. إن خصائص (تيار- فولتية) عند التشيع أوضحت حدوث تأثير دائم في الخواص الكهربائية لطاقتى التشيع (1.2، 1.8، 3، 4، 5.1) MeV ناتج من حصول تلف دائم في مادة النبيطة، وحدوث تأثير وقتي عند الطاقة 4 MeV، في حين أن الطاقتين (3، 4) MeV لم تحدث تأثيراً ملحوظاً في خصائص النبيطة.

### Effect of Alpha Particles on the Electrical Characteristics of the MIS: Au-Ta<sub>2</sub>O<sub>5</sub>-GaAs Devices

S. H.S. Alnia'emi<sup>a</sup>, A.S. Al-Rawass<sup>b</sup> and S.M.B Al-Abasee<sup>c</sup>

a- Physics Department, College of Education, Mosul University, Mosul, Iraq.

b- Basic Sciences Department, Faculty of Dentistry, Mosul University, Mosul, Iraq.

c- Teacher Preparation Institute, Directorate of Education in Nineveh, Nineveh, Iraq.

**Abstract:** The paper aims to study the effect of alpha particles on the electrical properties of MIS:Au-Ta<sub>2</sub>O<sub>5</sub>-GaAs devices and on the electrical current transition mechanism. The devices are prepared by depositing a layer of gold with a thickness of 1000 Å by using the thermal evaporation method under a pressure of 10<sup>-5</sup> torr to form the upper gate of the MIS construction. The prepared devices are irradiated with alpha particles from a <sup>226</sup>Ra source (0.5 μCi). The irradiation is performed under room temperature with alpha energies of (1.2, 1.8, 3, 4, 5.1) MeV for different

times of (0-30) min. The irradiation solid angle was small to maintain the alpha particles normally incident on the devices. The maximum energy (5.1 MeV) of the alpha particles is attenuated to lesser energies by situating polymer sheets with different thicknesses in front of the incident particles. The energy loss and the range of alpha particles within the layers of the device; the gold (Au), the tantalum oxide( $Ta_2O_5$ ) and the gallium arsenide(GaAs), are calculated to determine the way of losing the alpha particles of their energies, the amount of the produced damage and the point where the maximum energy loss is taking place within the device. The irradiation showed an effect on the electrical properties of the device, and this effect is found to be varied with the particles energy and the irradiation time. The I-V characteristics showed that the current transition mechanism is Shottky for most of the cases of irradiation and Poole-Frenkel for some cases. These characteristics also showed a permanent damage in the device at energies of (1.2 and 5.1) MeV, and a temporary effect at energies of 4 MeV, while there was no significant effect at energies of (1.8 and 3) MeV.

## المقدمة

من المعروف أن الإشعاعات المؤينة بنوعيها الجسيمية مثل البروتونات وجسيمات ألفا وجسيمات بيتا والأيونات الأخرى، والكهرومغناطيسية مثل أشعة جاما والأشعة السينية والموجات فوق البنفسجية، تؤثر في خصائص النبائط وتغير من مواصفاتها. وتختلف تأثير الإشعاعات وطريقة تفاعلها مع النبائط باختلاف المواد المكونة لطبقات تلك النبائط.

تعتمد الجسيمات المشحونة في تفاعلها مع المادة على مبدأ التفاعل (المجال) الكولومي ( $Coulomb$ ). فالجسيمات المشحونة الثقيلة تفقد طاقتها ببطء وبالتدريج عند مرورها في وسط ما من خلال تفاعلها مع ذرات المادة، مما يؤدي إلى إحداث تأينات وتهيجات لذرات الوسط، قد تؤدي بدورها إلى تحطيم الأواصر التي تربط جزيئات ذلك الوسط. وجدير بالذكر أن الجسيمات الثقيلة (التي هي أثقل من الإلكترونات) مثل جسيمات ألفا لا تتحرف كثيراً عن مسارها داخل المادة وتكون مساراً خطياً، ونظراً لأنها تمتلك شحنة مقدارها ( $2e$ ) فإنها تحدث مساراً كثيفاً من التأينات مكونة أزواجاً من الأيونات وبذلك تفقد طاقتها على مسافة قصيرة داخل المادة [10].

بشكل عام، فإن الجسيمات المشحونة تفقد طاقتها بصورة رئيسية عن طريق سلسلة من التفاعلات الكولومية مع الإلكترونات الذرية أو نوى الذرات في المادة المعرضة؛ إذ تحدث الجسيمات المشحونة عدراً كبيراً من التصادمات مع ذرات المادة، وتكون الطاقة المفقودة في التصادم الواحد قليلاً فيبدو الجسيم المشحون وكأنه يخسر طاقته بشكل مستمر ويعرض لإبطاء تدريجي. عليه، يستخدم المعدل الوسطي للطاقة المفقودة (Mean Rate Energy Loss) ( $dE/dx$ ) للتعبير عما يخسره الجسيم المشحون من طاقة في الوسط، وهذا ما يُعرف بقدرة الإيقاف (Stopping power) للمادة [11].

تكمّن أهمية دراسة الخصائص الكهربائية لنبيطة MIS المشععة في معرفة تأثير الإشعاع المؤين لغرض تصنيع نبائط قابلة للاستعمال في التطبيقات التكنولوجية تحت الظروف البيئية المختلفة. إن تركيب معدن-أوكسيد-شهب (Metal-oxide-semiconductor) (MOS or MIS) له أهمية كبيرة في دراسة العديد من النبائط مثل ترانزستور تأثير المجال ذي البوابة المعزولة (Insulated gate field effect transistor) IGFET الفوري في الدوائر الإلكترونية المتكاملة ذات المقياس العالي جداً (VLSI) (Very Large Scale Integration) [1].

تعد الطبقة البيئية لتركيب نبيطة MIS، المتمثلة في طبقة أوكسيد التنتاليوم ( $Ta_2O_5$ ) في بحثنا هنا، من أكثر الأجزاء حساسية للإشعاع، حيث يمتاز أوكسيد التنتاليوم عن غيره من الأكسيد المعروفة مثل  $SiO_2$  و  $Al_2O_3$  بأنه يمتلك تيار تسرب سطحي واطئاً، وثبتت عزل عاليًا مما يعطي سعة عالية لوحدة المساحة [1, 2, 3, 4]. فضلاً عن ذلك، فإن  $Ta_2O_5$  يمتلك مقاومة واطئة، وكذلك كثافة حالات واطئة. كما أن فقد العازل له واطئ أيضاً، وأن المعامل الحراري للسعة يكون هو الآخر واطئاً جداً [4]. كل هذه المزايا جعلت الأوكسيد  $Ta_2O_5$  مهماً في العديد من التطبيقات مثل متسعات دائرة المعالجة العشوائية (Dynamic Random Access Memory) DRAM capacitors)، ونبائط البوابة متعددة الطبقات Optical Multilayer gate)، ونبائط دليل الموجة (Optical wave guide devices)، والمرشحات البصرية (Optical sensors) [3, 4, 5, 6, 7, 8]، حيث يستخدم العازل بهذه المزايا في تطبيقات البوابة العازلة (gate dielectric) gate applications ولاسيما عند جرع الإشعاع المنخفضة لأنشعة جاما [9].

دقائق لكل مرحلة على التتابع، ثم يتبع ذلك غمر الأرضية بالماء اللايوني (D.I. water) لمدة دققتين على الأقل للتخلص من الأوكسيد المتكون تلقائياً (native oxide) على السطح الخلفي لطبقة GaAs التي يقرب سمكها من  $30 \times 10^{-4} \mu\text{m}$  (20–30). تغمر الأرضية في محلول الإزالة (chemical etching solution) الكيميائي HCl:H<sub>2</sub>O<sub>2</sub>:H<sub>2</sub>O ذي النسبة الحجمية 3:1:150 ml ويستمر تحريكها لمدة 15 ثانية، بعدئذ ترفع الأرضية من محلول وتغمر في الماء اللايوني المغلي لإزالة الأيونات العالقة على السطح.

أما أوكسيد التنتاليوم (Ta<sub>2</sub>O<sub>5</sub>) العازل فقد تم ترسيبه على أرضية شبه الموصل n-GaAs بطريقة الرشق، ثم أجريت عملية التماس الأومي (Ohmic contact) على السطح الخلفي لشبه الموصل، وذلك بترسيب 300 mg من معدن الذهب Au ذي نقاوة عالية (99.99%) بطريقة التبخير الحراري Thermal evaporation تحت ضغط يقرب من  $10^{-5}$  torr، وبعدها تُلدن العينة تحت ضغط  $10^{-3}$  torr في درجة حرارة 400 °C لمدة 30 دقيقة. بعد إنجاز هذه العملية تُرَسِّب طبقة رقيقة من الذهب (Au) بسمك 1000 Å على شكل نقط دائيرية صغيرة مساحة كل منها  $7.85 \times 10^{-3} \text{ cm}^2$  باستخدام قناع معدني وبطريقة التبخير الحراري تحت ضغط  $10^{-5}$  torr، وتدعى هذه العملية المعدنة Metallization. قطعت النبيطة المصنعة إلى عدد من النبأط وثبتت على قواعد من نوع To -5 header بمعجون الفضة وتركت لمدة 48 ساعة كي تجف، تلتها عملية توصيل أقطاب الذهب المرسبة بأسلاك رفيعة بتقنية الضغط الحراري Thermo-compression bonding (process).

إن النبأط MIS: Au-Ta<sub>2</sub>O<sub>5</sub>-GaAs التي حضرت مختبرياً كان سماك طبقاتها تقريباً كما يلي: الذهب Au(0.1μm)، وأوكسيد التنتاليوم Ta<sub>2</sub>O<sub>5</sub>(0.05μm)، وأرسينايدي الكالسيوم GaAs(450μm). وجدير بالذكر أن سماك الطبقات المرسبة تم قياسها باستعمال جهاز Bigdag باستخدام الليزر. اختيرت طاقات محددة وهي 1.2، 1.8، 3، 4، 5.1 MeV لجسيمات ألفا من مصدر الراديوم <sup>226</sup>Ra لتشعيب هذه النبأط بدءاً من معدل الطاقة القصوى التي حُسِّبت باستخدام محلل متعدد القنوات Multi-channel Analyzer (MeV 5.1) وكانت 3.7 cm، إذ تم الحصول على طاقات أقل من الطاقة القصوى.

إن الجسيم المشحون الذي يجتاز مادة ما سوف يسلك مساراً متصلةً ويفقد طاقته على طول هذا المسار ويتوقف عندما يفقد كل طاقته، والمسافة التي يقطعها الجسيم قبل توقفه تعرف بطول المسار أو المدى (Range). وتعتمد المسافة التي تقطعها الجسيمات في الوسط على طبيعة المادة المعرضة وعلى طاقتها الحركية التي تستند تماماً عند وصولها نهاية المدى، فضلاً عن طاقتها الابتدائية؛ إذ إن مدى جسيمات ألفا لا يتجاوز بضعة سنتيمترات في الهواء.

إن جسيمات ألفا والبروتونات هي جسيمات مشحونة، وتعد ثقيلة مقارنة بالإلكترونات، وهي تتفاعل مع ذرات المادة إما بتفاعلها مع الإلكترونات المدارية أو مع النوى المكونة لتلك الذرات. فجسيمات ألفا تحدث تلفاً موقعاً في المادة من خلال تأمين الذرات وتهيجها على طول مسارها لدى مرورها بالمادة إن لم تكن طاقتها عالية نسبياً. ويمكن لجسيمات ألفا أن تدخل في تفاعلات نوية مع نوى ذرات المادة إذا كانت طاقتها عالية نسبياً معتمدة على طاقة التفاعل، وحاجز الطاقة (طاقة العتبة للتفاعل). عموماً، فالتفاعلات النووية التي قد تحصل في عمليات تشعيء المادة بالبروتونات أو جسيمات ألفا (طاقتها عالية نسبياً بحدود عشرات المليون إلكtron فولت) هي على الأغلب من نوع (P, Pn), ( $\alpha$ , P), ( $\alpha$ ,  $\gamma$ ), ( $\alpha$ , n), ( $\alpha$ ,  $\gamma$ ), (P,  $\gamma$ ) وتفاعلات أخرى [12].

ومهما يكن، فإن تأثيرات الإشعاع تختلف باختلاف نوع الجسيمات الساقطة وطاقتها، ونوع المادة المعرضة وتركيبها [13]، فضلاً عن كتلة الأشعة الجسيمية وشحتها. في دراستنا هذه، سنركز على تأثير الأشعة الجسيمية الثقيلة، وهي جسيمات ألفا في نبأط MOS؛ إذ يهدف البحث إلى معرفة تأثيرات جسيمات ألفا المؤينة بطبقات مختلفة لأزمان تشعيء مختلفة، في الخصائص الكهربائية للنبيطة MIS (Au-Ta<sub>2</sub>O<sub>5</sub>-n/GaAs) عند درجة حرارة الغرفة، وكذلك تحديد تأثير تلك الجسيمات في آلية نقل التيار في النبيطة ومدى تغيرها مع زمن التشعيء وتغيرها مع طاقة جسيمات ألفا.

## الجانب العملي

تبدأ عملية تحضير النبيطة بتنظيف الشريحة (Substrate cleaning)، وهي أرسينايدي الكالسيوم (GaAs) لإزالة الملوثات العضوية واللاعضوية باستخدام محلل الكيميائي العياري من تراي كلوروايثيلين (TCE)، والأسيتون، وإيزوبروبانول الكحول (IPA) لمدة خمس

[14]. وعليه، فقد حُسبت الطاقات النافذة من كل طبقة تبعاً للطاقة الأولية لجسيمات ألفا الساقطة على النبيطة، وكذلك حُسب مقدار الفقدان في طاقة جسيمات ألفا لوحدة المسار ( $-dE/dx$ )، أو ما يسمى قدرة الإيقاف للمادة، في الطبقات الثلاث للنبيطة: Au،  $Ta_2O_5$  و GaAs.

إن هذه الحسابات مهمة وتعد مدخلاً ضرورياً، في بحوث لاحقة، لدراسة التأثيرات الإشعاعية لجسيمات ألفا المؤينة بجرعات وطاقات مختلفة في الخصائص الكهربائية للنبيطة المحضرة، وعلاقة طاقة الجسيمات بتلك الخصائص، فضلاً عن حساب معلمات أخرى وعلاقتها بطبقات ألفا ومدى تأثير الإشعاع في استقرارية النبيطة MIS.

### النتائج والمناقشة

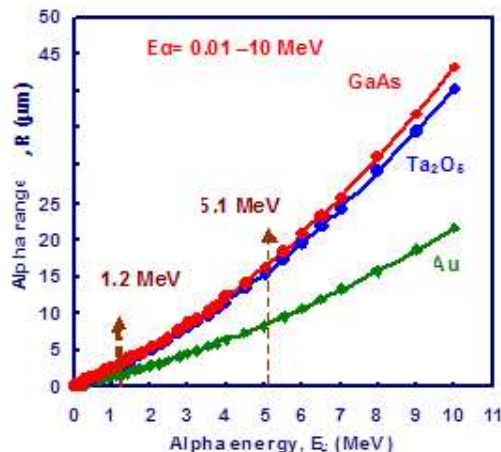
الشكل (1) يبين علاقة معدل فقدان الطاقة لوحدة المسار ( $-dE/dx$ ) مع طاقة جسيمات ألفا في الطبقات الثلاث المكونة للنبيطة MIS: (Au-T<sub>2</sub>O<sub>5</sub>-GaAs)، إذ يظهر من الشكل أن فقدان الطاقة يتم بالنط نفسمه في المواد الثلاث مع الاختلاف في قيم الفقدان. وقد وجِد أن أقصى فقدان في طاقة ألفا يحدث عند الطاقة  $\sim 1 \text{ MeV}$  في النبيطة المستخدمة، وعندما يحصل أكبر تلف في المادة. إن كمية الجذور الحرجة المكونة تكون أكبر ما يمكن عند هذه الطاقة مع الاختلاف في نوع المادة، ويقل مقدار الفقدان في الطاقة مع زيادة طاقة الجسيمات أكثر من  $1 \text{ MeV}$ ، كما يكون مقدار النقصان في الطاقة المفقودة أبطأ منه في الحالة التي تكون فيها طاقة الجسيمات أقل من  $1 \text{ MeV}$ .

ويلاحظ من الشكل نفسه أن معدل الفقدان في طاقة جسيمات ألفا في مادتي  $Ta_2O_5$  و GaAs متقارب نوعاً ما، في حين يصل إلى مثلي قيمته في مادة الذهب، لأن كثافة هاتين المادتين متقاربة، وأن قيمهما بحدود  $8.54 \text{ g/cm}^3$  و  $5.81 \text{ g/cm}^3$  على الترتيب، في حين أن كثافة الذهب هي بحدود  $19.311 \text{ g/cm}^3$ ، وهي أكبر (2-3) مرات تقريباً من كثافة المادتين السابقتين. وبما أن معدل الفقدان يعتمد على الكثافة ويتناصف معها طردياً، فإننا نجد أن مقدار الفقدان في طاقة ألفا في مادة الذهب أكبر بحدود الضعف مقارنة بمقدار فقدانها في مادتي  $Ta_2O_5$  و GaAs علماً بأن مدى الجسيمات يتناصف عكسياً مع معدل الفقدان في الطاقة.

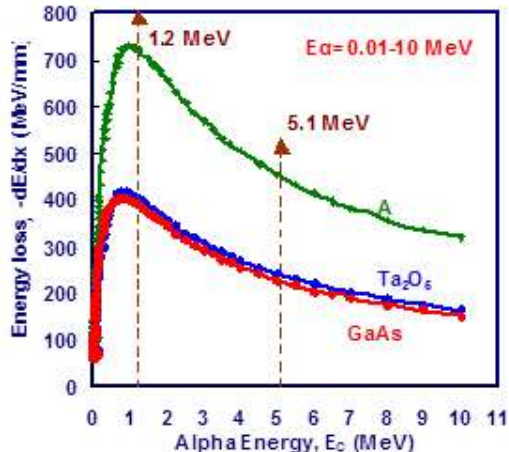
وقد تم ذلك باستخدام مُوهنات للطاقة على شكل رقائق بوليمرية من نوع PMMA وبسمادات مختلفة ثبتت أمام مصدر الراديوم المشع، وقد تمت معايرة تلك الرقائق البوليمرية طاقياً باستخدام مصدر مشع قياسي هو الأمريشيوم  $^{241}\text{Am}$  فاعليته  $0.5 \mu\text{Ci}$ .

أجريت القياسات في البحث باستخدام منظومة التبريد، وهي الكرايostات (Cryostat)؛ إذ أجريت عملية القياس بعد مرور نصف ساعة على عملية التفريغ للإبقاء على الضغط المنخفض داخل الكرايostات الذي كان بحدود  $10^{-3} \text{ torr}$ . رُبطت دائرة تيار-فولتية (I-V) وحددت الفولتية القصوى فضلاً عن مستوى التغير في الفولتية، وزمن دوام (استمرار) الفولتية المجهزة من مولد الفولتية المتدرجة (ramp voltage generator) بشكل متدرج سليمي في أزمنة متساوية؛ إذ قيس التيار بوصفه دالة للفولتية بالانحيازيين الأمامي والعكسي (forward and reverse bias). وجدير بالذكر أن منظومة التبريد، ومولد الفولتية المتدرجة تم تصميمهما محلياً من جانبنا في المختبر.

ومن أجل دراسة تأثير الجسيمات المشحونة في الخصائص الكهربائية للنبيطة ما، ولمعرفة التأثيرات الحقيقة التي تحدثها تلك الجسيمات، وكذلك معرفة التغيرات الحاصلة في النبيطة وفي السطح البيني لشبكة الموصى العازل، فلابد من دراسة أولية لمعدل الفقدان في طاقة تلك الجسيمات خلال مرورها في النبيطة، وحساب مدى الجسيمات في الطبقات المكونة للنبيطة. وهذه الدراسة تفيد في معرفة العمق الذي تختلفه تلك الجسيمات لتحديد مقدار التلف الذي تحدثه جسيمات ألفا، وذلك للتمكن من تحديد الطبقة والنقطة التي عندها يحصل تلف موضعي كبير ويحصل أعظم فقدان للطاقة من خلال حسابات طاقة جسيمات ألفا النافذة من طبقات النبيطة المختلفة. ومن خلالها يمكن مسبقاً تحديد النقطة المراد حصول أكبر فقدان للطاقة عندها والطبقة المراد حصول أكبر تأثير موقعي للجسيمات في النبيطة عندها قبل دراستها. لذا يتم حساب معدل الفقدان الخطى في طاقة الجسيمات المشحونة لوحدة المسار ( $-dE/dx$ ) في الطبقات المكونة للنبيطة أو قدرة الإيقاف لتلك الطبقات لجسيمات ألفا ومدى اختراقها، وذلك باستخدام البرنامج الحاسوبى SRIM-2003 (The Stopping Power and Range of Ions in Matter)



الشكل (2): علاقة مدى جسيمات ألفا مع الطاقة



الشكل (1): علاقة معدل فقدان الطاقة لجسيمات ألفا به الطاقة

عام أن مقدار الطاقة المفقودة من الجسيم والمتربطة في المادة يعتمد على طاقة الجسيمات الساقطة ونوع الوسط وتركيبه وسمكه [13].

إن مقدار الطاقة المتربطة في المادة يزداد بزيادة طاقة جسيمات ألفا، ويكون مداها صغيراً داخل المادة. وعليه، فإن مقدار الطاقة المتربطة في الذهب (Au) يكون أكثر مما هو عليه في أوكسيد التنتاليوم (Ta<sub>2</sub>O<sub>5</sub>)، لأن كثافة الذهب أكثر من كثافة الأوكسيد، وأن سمك الذهب المرسوب أكثر من سمك الأوكسيد. وهكذا تستمر جسيمات ألفا بفقدان طاقتها واحتراقها للمادة بمدى معين لحين وصولها إلى الطبقة الثالثة وهي أرسينياد الكاليلوم (GaAs) علماً بأن جسيمات ألفا ست فقد جميع طاقتها وتتوقف بسبب السمك الكبير لهذه المادة. وعليه، فإن جسيمات ألفا بالطاقات المستخدمة كلها ستخترق مادتي الذهب والأوكسيد بفقد طاقي قليل فيهما، وواصلة إلى طبقة أرسينياد الكاليلوم. ومن الجدير بالذكر أن الطاقة الخارجة من طبقة Au تعد طاقة تشيع أولية لطبقة Ta<sub>2</sub>O<sub>5</sub>، وبدورها تصبح الطاقة الخارجية منها طاقة تشيع أولية لطبقة GaAs، آخذين بعين الاعتبار مقدار الطاقة المفقودة (أو المترسبة) في المادة في كل حالة تشيع من خلال معرفة معدل الطاقة المفقودة والسمك الذي اخترقته تلك الجسيمات.

ولتوضيح العلاقة بين مدى جسيمات ألفا وطاقتها، نجد من الشكل (2) أن هناك تغيراً أسيّاً واضحًا ومقارباً جداً لمادتي Ta<sub>2</sub>O<sub>5</sub> و GaAs، في حين أن هذا التغير يقل إلى النصف تقريباً في مادة Au. وكما ذكرنا سابقاً، فإنه بزيادة كثافة المادة تزداد قدرة إيقاف المادة (dE/dx) فيقل من ثم احتراق الجسيم للمادة وبذلك يقل مداه فيها.

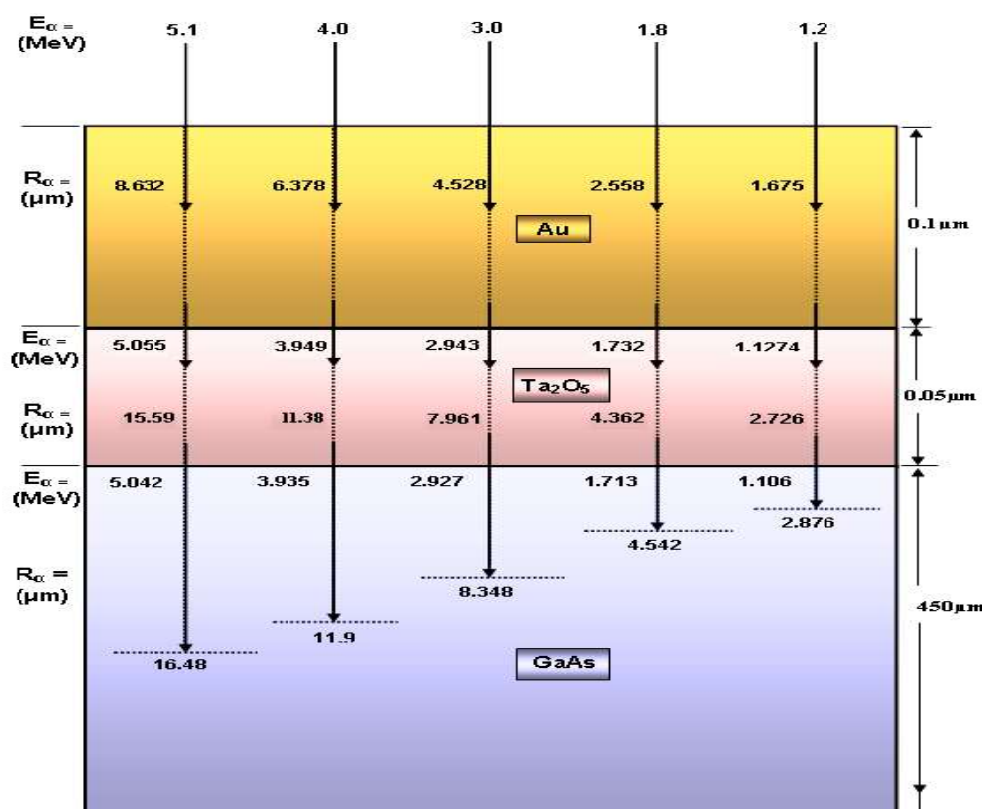
بشكل عام، نجد أن مدى جسيمات ألفا في المواد يتناسب تناهياً طردياً بشكل أسي مع طاقة الجسيمات الساقطة، وأنه يرتبط ارتباطاً وثيقاً بقدرة إيقاف المادة التي بدورها ترتبط بكثافة المادة، وعددها الكتلي، وطاقة الجسيمات.

### كيفية فقدان الطاقة في نبيطة MIS

معرفة مقدار فقدان في طاقة جسيمات ألفا ومداها في المواد المكونة للنبيطة (MIS) (Au-Ta<sub>2</sub>O<sub>5</sub>-GaAs). فقد حُسب مقدار الطاقة المفقودة ومدى هذه الجسيمات واختراقها لطبقات النبيطة الثلاث من البرنامج النظري (SRIM) [14] كما هو موضح في الجدول (1) والشكل (3) لكلٍ من طاقات ألفا 1.8, 1.2, 3.0, 4.0, 5.1 MeV. ومن حساب مقدار الطاقة المفقودة في كل جزء في النبيطة والمسافة التي يقطعها الجسيم، نجد أن تشيع النبيطة بجسيمات ألفا بالطاقات أعلى يحدث فقداناً في الطاقة  $dE$  - تبعاً لسمك تلك المادة  $dX$ . ويلاحظ بشكل

**الجدول (1):** الطاقات الساقطة والمترسبة والنافذة ومعدل فقدان جسيمات ألفا في نبيطة MIS: Au-Ta<sub>2</sub>O<sub>5</sub>-GaAs

MIS Layer	Incident energy E <sub>a</sub> (MeV)	Average energy loss dE <sub>a</sub> /dx (MeV/mm)	Range R <sub>a</sub> (μm)	Deposited energy E <sub>a</sub> (MeV)	Transmitted energy E <sub>t</sub> (MeV)
Au (0.1μm)	5.1	450.525	8.632	0.045	5.055
	4.0	504.4	6.378	0.0504	3.9496
	3.0	570	4.528	0.057	2.943
	1.8	676	2.558	0.0676	1.732
	1.2	725.9	1.675	0.0726	1.1274
Ta <sub>2</sub> O <sub>5</sub> (0.05μm)	5.055	243.641	15.596	0.0122	5.0428
	3.9496	274.604	11.385	0.0137	3.9359
	2.943	312.132	7.961	0.0156	2.9274
	1.732	375.628	4.362	0.0188	1.7132
	1.1274	411.725	2.726	0.0206	1.1068
GaAs (450μm)	5.0428	229.463	16.485	5.0428	----
	3.9359	260.47	11.989	3.9359	----
	2.9274	298.644	8.348	2.9274	----
	1.7132	362.4	4.542	1.7132	----
	1.1068	397.665	2.872	1.1068	----

**الشكل (3):** مخطط الطاقات الساقطة والمترسبة والنافذة ومعدل فقدان جسيمات ألفا في نبيطة MIS: Au-Ta<sub>2</sub>O<sub>5</sub>-GaAs

وكما يلاحظ من الجدول (1) وكذلك من الشكل (3)، فإن معدل فقدان الطاقة في طبقة GaAs مساوٍ تقريباً لمعدل فقدان في طبقة الأوكسيد Ta<sub>2</sub>O<sub>5</sub>. ولأن السماكة المستخدم لهذه المادة كبيرة (450 μm) وهو أكبر بكثير من مدى جسيمات ألفا بالطاقات المستخدمة في مادة GaAs، فإن جسيمات ألفا تفقد كل طاقتها في هذه المادة.

زمن تشيعي مقداره (9-15) دقيقة، ثم يزداد بشكل كبير بعد هذا الزمن ولاسيما عند منطقة الفولتيات المنخفضة الأقل من 7 V وصولاً إلى الزمن 22 دقيقة، وعندما يصل التيار إلى أقصى قيمة له لا يزداد بعدها مع زيادة زمن التشيعي. ويعتقد أن الزيادة في قيمة التيار يعود سببها إلى زيادة زمن التشيعي أو التعریض التي تؤدي إلى زيادة تراكم الطاقة المترسبة في النبطة من جسيمات ألفا القاصفة التي قد تولد مستوياتٍ بيئية جديدة في السطح البيني لشبھ موصل-عزل [16]. إن هذه المستويات البيئية تحدث بدورها فيضاً في حاملات الشحنة عند السطح البيني [17]. لذا يلاحظ أن أقصى قيمة يصلها التيار عندما يكون زمن التشيعي بحدود 22 دقيقة للطاقة 5.1 MeV. ويلاحظ من الشكل نفسه أن خواص النبطة المشععة بعد يوم واحد من القياس تصبح مستقرة تقريباً، مما يعني حدوث تلف دائم (Permanent) في النبطة.

أما خصائص تيار- فولتية (I-V) بالاتجاه العكسي، فإن هناك زيادة قليلة في التيار عند أزمان التشيعي المنخفضة (0-12) دقيقة، في حين أن هناك زيادة كبيرة في التيار عند الأزمان (12-22) دقيقة وهذا قد يعزى إلى زيادة تيارات التسرب السطحي المتولدة نتيجة الإشعاع.

وللتشيعي بطاقة 4 MeV نجد من الشكل (b) أن التغير في التيار لفولتية الانحياز الأمامي لقيمة أقل من 1 V يبدأ بعد زمن 6 دقائق، ويزداد بشكل ملحوظ إلى حد 22 دقيقة مقارنة بالنبيطة غير المشععة بحيث تكون قيم التيار مطابقة نوعاً ما لهذه الأزمان من التشيعي، كما نجد أن أقصى زيادة في قيمة التيار تحصل عند الزمن 12 دقيقة مقارنة بالنبيطة غير المشععة. أما لأزمان التشيعي الأعلى من 22 دقيقة ولفولتية أقل من 1 V، فإنه يلاحظ حدوث نقصان قليل في التيار مقارنة بتيار النبطة غير المشععة وأحياناً يكون منطبقاً معه، أي حصول تقويم جيد للتيار عند زيادة زمن التشيعي. هذا السلوك في زيادة التيار قد يعزى إلى أن الإشعاع المؤين يعمل على تكوين أزواج إلكترون- فجوة في العازل فضلاً عن توليد حاملات الشحنة في السطح البيني لشبھ موصل-عزل [13, 18, 19] محدثاً زيادة في قيمة التيار؛ إذ إن تكون الشحنات المحتملة نتيجة الإشعاع في الأوكسيد /أو عند السطح البيني لشبھ الموصل- أوكسيد يولد إشارة قابلة للقياس في أثناء تعریض النبطة إلى الإشعاع مثل أشعة جاما، والنيوترونات، والإلكترونات، وأشعة X [20] والجسيمات المشحونة، في حين أن النقصان الحاصل في التيار عند أزمان التشيعي

وعليه، يمكن القول إن جسيمات ألفا تؤثر بشكل كبير في شبه الموصل أرسينايid الكاليلوم GaAs مقارنة بمادتي الذهب Au والأوكسيد Ta<sub>2</sub>O<sub>5</sub>، وتحدث تلفاً خلال مسارها في هذه المادة وتؤدي إلى تكوين حاملات شحنة إضافية بسبب تكسر الأواصر في هذه المنطقة بفعل الإشعاع [15]. ومهما يكن، فإن جسيمات ألفا تفقد جزءاً بسيطاً جداً من طاقتها في طبقي الذهب (Au) وأوكسيد التنتاليوم (Ta<sub>2</sub>O<sub>5</sub>)، بينما يفقد الجزء الأكبر من طاقتها (بحدود 95%) في طبقة أرسينايid الكاليلوم (GaAs) عند مسافة من السطح البيني لطبقي Ta<sub>2</sub>O<sub>5</sub>-GaAs تبعاً لطاقة ألفا الساقطة على النبطة. فطاقة الجسيمات الساقطة على النبطة تفقد عند مسافة أقرب من السطح البيني لـ Ta<sub>2</sub>O<sub>5</sub> GaAs بنقصان طاقتها، حيث نجد أن طاقة جسيمات ألفا البالغة 5.1 MeV تفقد على مسافة 16.485 μm السطح البيني في طبقة أرسينايid الكاليلوم، بينما نجد أن الطاقة 1.2 MeV للجسيمات تفقد عند مسافة أقرب إلى السطح البيني في حدود 2.872 μm.

ومن الجدير بالذكر أن الطاقة 1.2 MeV هي قريبة جداً من النقطة أو الذروة (peak) التي يحصل عنها أعظم فقدان لطاقة ألفا في المادة (أي أعظم ترسب للطاقة في المادة)، وهي بحدود 1 ~ MeV كما هو موضح في الشكل (1)، فضلاً عن أن معظم هذه الطاقة يفقد على مسافة قريبة من السطح البيني في طبقة أرسينايid الكاليلوم، لذا يتوقع حصول ضرر كبير وظهور تأثير كبير للإشعاع في النبطة عند هذه الطاقة.

ويجب التذکیر هنا بأننا لا ندرس تأثير جسيمات ألفا في طبقة محددة من طبقات النبطة، بل نحاول دراسة التأثير النهائي لجسيمات ألفا في الخصائص الكهربائية للنبيطة نتيجة فقدان جسيمات ألفا طاقتها في طبقات النبيطة الثلاث Au-Ta<sub>2</sub>O<sub>5</sub>-GaAs، والمتمثلة بالطاقات الساقطة على النبطة وهي (1.2, 1.8, 3.0, 4.0, 5.1) MeV.

## خصائص تيار- فولتية (I-V)

**الأشكال (4a-e)** توضح خصائص تيار- فولتية (I-V) للنباط المشععة بطبقات ألفا (5.1-1.2 MeV لأزمان 5.1-1.2 MeV) تشيعي مختلف في درجة حرارة الغرفة. يوضح الشكل (4a) العلاقة بين التيار وفولتية الانحياز المسلطية للنبيطة المشععة بطاقة 5.1 MeV بأزمان تشيعي مختلف في درجة حرارة الغرفة. ويتبين أن التيار يزداد بشكل تدريجي حتى

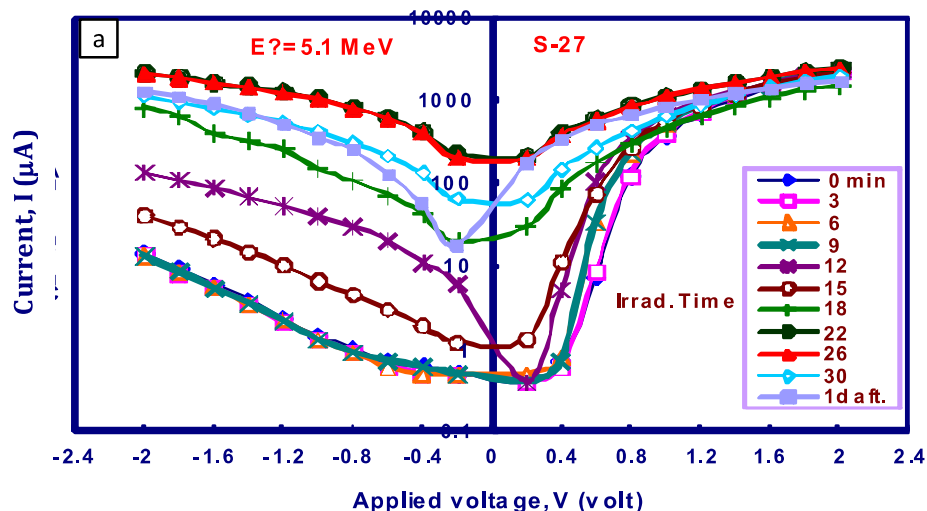
مقارنة بالطاقات المستخدمة الأخرى، ولكن الطاقة الكلية المترسبة تكون أكثر، وقد تؤهل حاملات الشحنة للوصول إلى السطح البيني وبطاقات أكبر مما يؤدي إلى ملاحظة تأثيراتها في قيمة التيار. لقد أعيدت النتائج وتم تكرار التشيع بالطاقتين (3.0, 1.8) MeV لنبائط إضافية، فأظهرت النتيجة نفسها، مما يؤكد أن تأثير جسيمات ألفا يختلف تماماً عن تأثير أشعة جاما في دراسات أخرى.

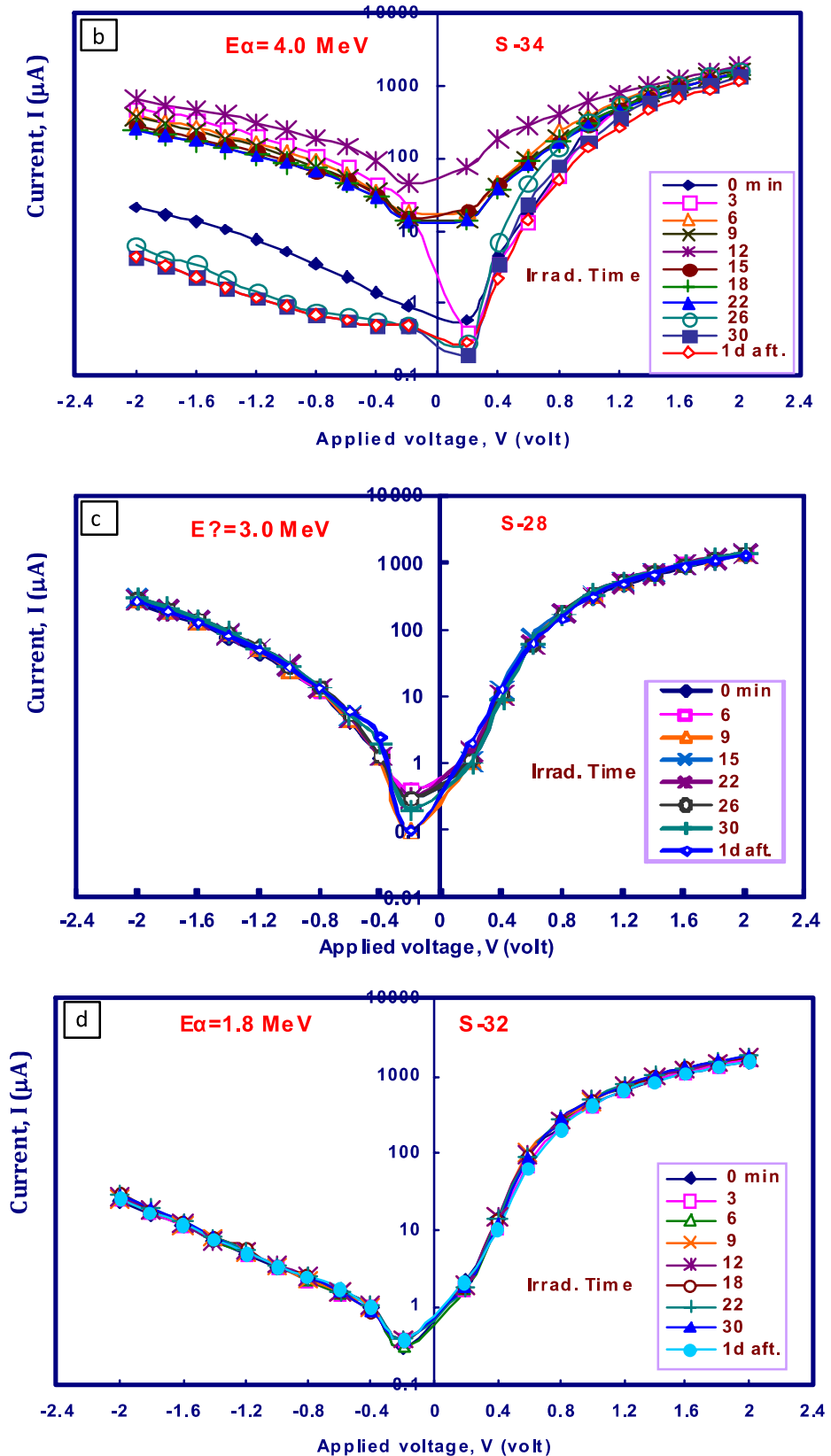
أما عند التشيع بطاقة 1.2 MeV، فنجد أن المسألة تختلف تماماً كما يتضح من الشكل (4c). فتشيع النبيطة بهذه الطاقة يظهر تأثيراً واضحاً في خصائص النبيطة على الرغم من أن هذه الطاقة أقل من الطاقتين السابقتين. ويعود السبب في هذا إلى نقاط عدة منها: أن مقدار الطاقة المترسبة يكون كبيراً عند مدى أقصر من بقية الطاقات داخل المادة وعلى مسافة قريبة لا تتجاوز 2.872  $\mu\text{m}$  من السطح البيني لـ  $\text{Ta}_2\text{O}_5\text{-GaAs}$ ، وأن هذه الطاقة قريبة من الطاقة التي يحصل عندها أعظم فقدان لطاقة ألفا في المادة (قريبة من الذروة peak في الشكل 1) التي هي بحدود ~1 MeV. لهذا يحصل أعظم ترسب للطاقة في النبيطة على مسافة قريبة من السطح البيني لـ  $\text{Ta}_2\text{O}_5\text{-GaAs}$  مما يحدث صرراً موقعاً كبيراً في النبيطة. ومن الجدير بالذكر أن الضرر (التلف) الحاصل من التشيع هو ضرر دائم، لأن تأثيرات الإشعاع تبقى تقريباً نفسها بعد ترك النبيطة لمدة يوم واحد لأن طاقة الإشعاع هذه تؤثر بشكل مباشر في خواص النبيطة واستقراريتها. إن تأثير الإشعاع في خصائص MOS يعتمد على كل من زمن التشيع أو التعرض (الجرعة)، وكذلك على معلمات تركيب النبيطة ومنها سمك العازل [15].

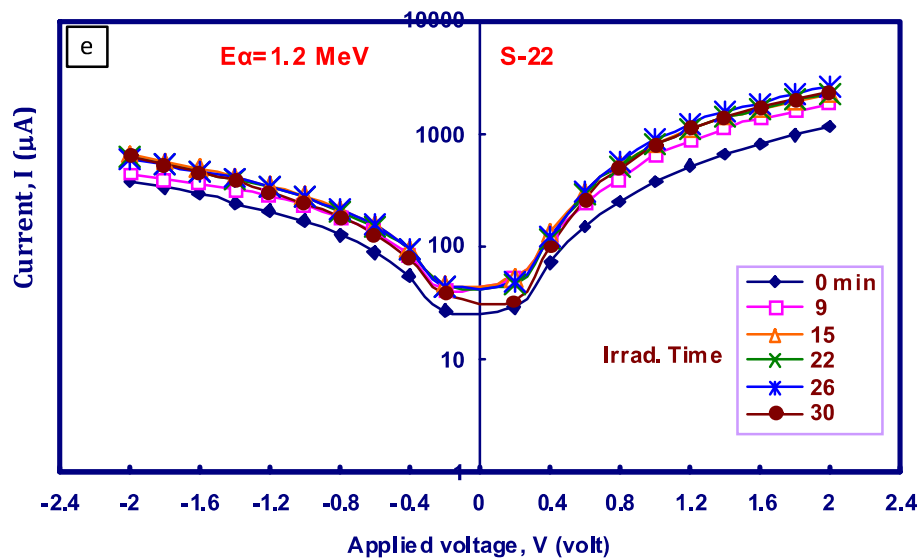
العالية لهذه الطاقة والمذكورة أعلاه يعزى إلى أن تأثير التلف الإشعاعي يمكن أن يكون مستويات قوانص (traps) تعمل على اقتناص الإلكترونات عند السطح البيني لـ  $\text{Ta}_2\text{O}_5\text{-GaAs}$ ، وهذا يبين عمق القوانص داخل طبقة العازل لأوكسيد التنتاليوم ( $\text{Ta}_2\text{O}_5$ ). وعند ترك النبيطة بعد التشيع لمدة يوم واحد وفحصها ثانية، تقل قيمة التيار عن أقصى زيادة له ولكنه يظل أكثر مما هو للنبيطة غير المشعة في الانحياز الأمامي وأقل في الانحياز العكسي؛ أي أن التأثير لم يكن دائماً.

أما الشكلان (4c,d) فإنهم يوضحان تأثير الطاقتين (3.0, 1.8) MeV في النبيطة MIS قيد الدراسة وباتجاهي الفولتية المسلطة الأمامي والعكسي. فالتيار يزداد أسيّاً مع زيادة فولتتيي الانحياز الأمامي والعكسي، في حين أن هناك ثبوتاً أو استقراراً واضحين في قيمة التيار مع زيادة الجرعات الإشعاعية للنبائط المشعة مقارنة مع النبيطة غير المشعة؛ إذ تبين عدم وجود تأثير ملحوظ لهاتين الطاقتين في خصائص النبيطة.

إن السبب الرئيسي في هذا السلوك قد يعزى إلى أن جسيمات ألفا بالطاقتين (3.0, 1.8) MeV تفقد كل طاقتها في المادة عند مسافة أو مدى أقل مقارنة بالطاقتين (5.1, 4.0) MeV، ولكن الطاقة الحركية التي قد تمتلكها الحاملات المتولدة تكون قليلة قياساً إلى الطاقة المترسبة من هاتين الطاقتين، الأمر الذي قد لا يؤهل هذه الحاملات للوصول إلى السطح البيني لـ  $\text{Ta}_2\text{O}_5\text{-GaAs}$  مما لا يترك تأثيراً في قيمة التيار. ونجد العكس فيما يخص الطاقتين (5.1, 4.0) MeV، فإن الطاقة المترسبة التي هي على الرغم من ترسبيها على مسافة (16.4, 11.98)  $\mu\text{m}$  على ترتيب، نوعاً ما بعيدة عن السطح البيني







الأشكال (4a-e): خصائص تيار- فولتية للنبيطة المشععة ببطاقات مختلفة من جسيمات ألفا بأزمان مختلفة

#### آلية نقل التيار في نبيطة MIS المشععة

(5.1-1.2) MeV. وبحساب الميل للجزء المستقيم للمنحنيات الناتجة، فإنه يمكن حساب عامل التأثير ( $\beta$ ) المهيمن على نقل التيار في النبيط ومدى تأثير الإشعاع فيها. والجدول (2) يوضح قيم الميل لتلك المنحنيات.

للتعرف على آلية نقل التيار في نبيطة من نوع معدن- عازل- شبه موصل في درجة حرارة الغرفة، فقد أعيد رسم الأشكال السابقة (4 a-e) بصيغة  $\log(V^{1/2}) - E^{1/2}$ . حيث يمثل  $E$  شدة المجال الكهربائي للنبيط القياسي غير المشععة ومثله للنبيط المشععة بجسيمات ألفا ببطاقات

الجدول (2): قيم الميل للنبيط القياسي غير المشععة والنبيط المشععة

Sample No.	النبيط المشععة بجسيمات ألفا					النبيط غير المشععة بجسيمات ألفا (قياسي)	
	S-27	S-34	S-28	S-32*	S-22		
E $\alpha$ (MeV)	5.1	4	3	1.8	1.2	Slope (cm $^{1/2}$ / Ω V $^{1/2}$ )	
Irrd. Time t <sub>irr</sub> (min)	Slope (cm $^{1/2}$ / Ω V $^{1/2}$ )					Sample No.	
0	0.314	0.314	0.314	0.314	0.314		
3	0.393	0.304		0.345		S-32	0.314
6	0.379	0.307	0.311	0.307		S-27	0.314
9	0.385	0.348	0.321	0.308	0.282	S-17	0.314
12	0.304	0.167		0.295		S-18	0.314
15	0.346	0.372	0.315		0.240	S-24	0.314
18	0.356	0.363		0.302		S-3	0.314
22	0.068	0.385	0.345	0.308	0.254	S-14	0.314
26	0.077	0.347	0.312		0.274	S-7	0.314
30	0.275	0.445	0.322	0.310	0.293	S-28	0.314
After 1day	0.016	0.449	0.323	0.346	0.303		

\*The results of the samples are normalized according to sample S-32.

حيث  $B$  ثابت، و  $V$  الفولتية المسلطة، و  $\beta_{PF}$  عامل بول - فرنكل، حيث [1, 23]:

$$\beta_{PF} = \left[ \frac{q}{\pi \epsilon \epsilon_0 d_{ox}} \right]^{1/2} = 2\beta_{Seff} \quad (5)$$

ومن حساب القيمة النظرية لعامل شوتكي  $\beta_{Seff}^{(theor.)}$  من المعادلة (3) للنبيطة القياسية غير المشععة ومقارنتها بالقيم المحسوبة عملياً ( $\beta_{Seff}^{(exp.)}$ ) وأخذ معدل قيم  $\beta$  لعدد من النباطات القياسية غير المشععة كما في الجدول (3) الذي بين قيم عامل النقل  $\beta$  للنباطات القياسية غير المشععة والنباطات المشععة. نجد هناك تطابقاً جيداً بين القيمتين النظرية والعملية للنباطة القياسية غير المشععة بفارق لا يتجاوز 6.33% حيث:

$$\beta_{Seff}^{(theor.)} = 0.034 \text{ (Volt)}^{1/2},$$

$$\beta_{Seff}^{(exp.)} = 0.0363 \text{ (Volt)}^{1/2}$$

أما النباط المشععة بالطاقات (3, 1.8, 1.2 MeV

فإن العامل  $\beta_{Seff}$  يكون فيها مقارباً لعامل شوتكي للأزمان التشعيع المستخدمة كافة مع تغير قليل باتجاه النقصان عند الطاقة 1.2 MeV للأزمان (9-26) دقيقة، في حين يتغير بشكل كبير عند كل من الطاقتين (5, 4. MeV، فيقرب من  $V^{1/2}$  (0.0195-0.0522) للطاقة 4.0 MeV ومن على أن هاتين الطاقتين تؤثران بشكل كبير في ارتفاع حاجز الجهد فيكون تأثير الانخفاض في ارتفاع الحاجز قليلاً عند زمن التشعيع (22, 26) دقيقة، وكذلك بعد ترك النبيطة لمدة يوم واحد فيما يخص الطاقة 5.1 MeV، وأيضاً عند زمن تشعيع 12 دقيقة للطاقة 4. MeV. والشكل (5) يوضح العلاقة بين عامل النقل ( $\beta$ ) وزمن التشعيع للنباط المشععة بطاقة ألفا مختلفة والأزمان مختلفة، فيما يوضح الشكل (6) تغير عامل النقل ( $\beta$ ) مع طاقة التشعيع للجرعات الإشعاعية كافة.

إن آلية نقل التيار في نباط MIS المحضرة هي انبعاث شوتكي(Schottky emission) أو الانبعاث الحراري (thermo-ionic emission) لمعظم الحالات التي تحدّد في الأغشية الرقيقة بمعدل الإلكترونات المتჩجة حرارياً التي تعبّر حاجز الجهد (Voltage barrier) عند السطح (Conduction band) البيئي إلى داخل حزمة التوصيل (Poole-Frenkel) [21]، في حين كانت آلية نقل التيار هي تأثير بول-فرنكل (Poole-Frenkel) لبعض الحالات [22]. فكثافة التيار للانبعاث الحراري يمكن التعبير عنها بالمعادلة [21]:

$$J = A * T^2 \exp\{(qB_s V^{1/2} - \varphi_s)/KT\} \quad (1)$$

$$A * = \frac{4\pi m_e K^2}{h^3} \quad (2)$$

حيث  $J$  هي كثافة التيار، و  $q$  شحنة الإلكترون، و  $E$  المجال الكهربائي المسلط، و  $T$  درجة الحرارة المطلقة، و  $K$  ثابت بولتزمان، و  $m_e$  كتلة الإلكترون، و  $h$  ثابت بلانك، و  $\varphi_s$  ارتفاع حاجز الجهد للقوانص في العازل في السطح البيئي، و  $A^*$  ثابت ريتشاردسون الفعال (Richardson effective) وقيمه تساوي 8 لـ n-GaAs (constant) حيث يعتمد على كثافة التيار [21]. إن عامل شوتكي يعطى بالمعادلة:

$$B_{seff} = \left[ \frac{q}{4\pi \epsilon \epsilon_0 d_{ox}} \right]^{1/2} \quad (3)$$

حيث  $d_{ox}$  سماكة الأوكسيد في MOS، و  $\epsilon_0$  سماحة الفراغ، و  $\epsilon$  ثابت العزل النسبي لأوكسيد التنتاليوم (Ta<sub>2</sub>O<sub>5</sub>) وقيمه تساوي تقريرياً 25 [1, 23].

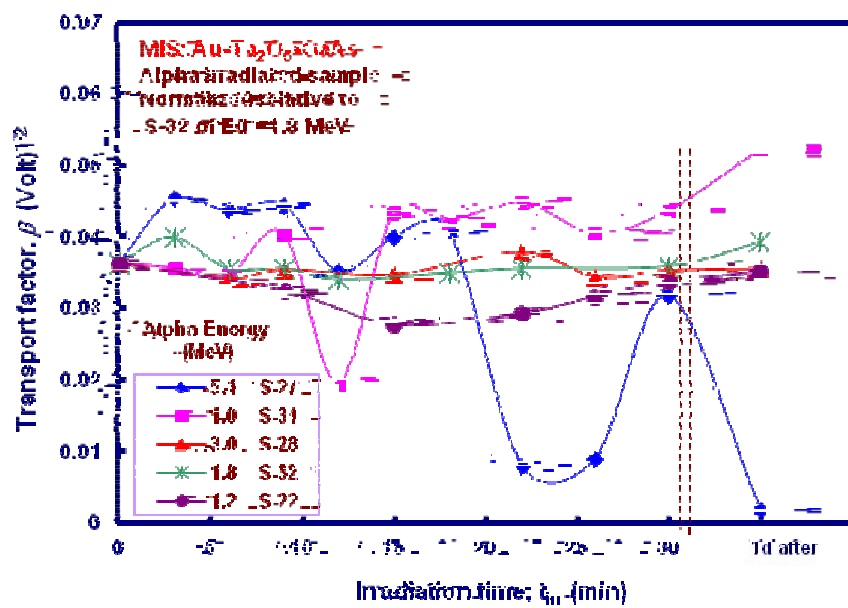
إن الانخفاض الحاصل من تأثير بول - فرنكل (Poole-Frenkel effect) في حاجز الجهد الكولومي للمراكم المانحة للقوانص يساوي مثلي الانخفاض الناتج من تأثير شوتكي [21]. والعلاقة التي تمثل نقل التيار بتأثير بول - فرنكل هي:

$$J = BV \exp\{(q\beta_{PF} V^{1/2} - \varphi_{PF})/KT\} \quad (4)$$

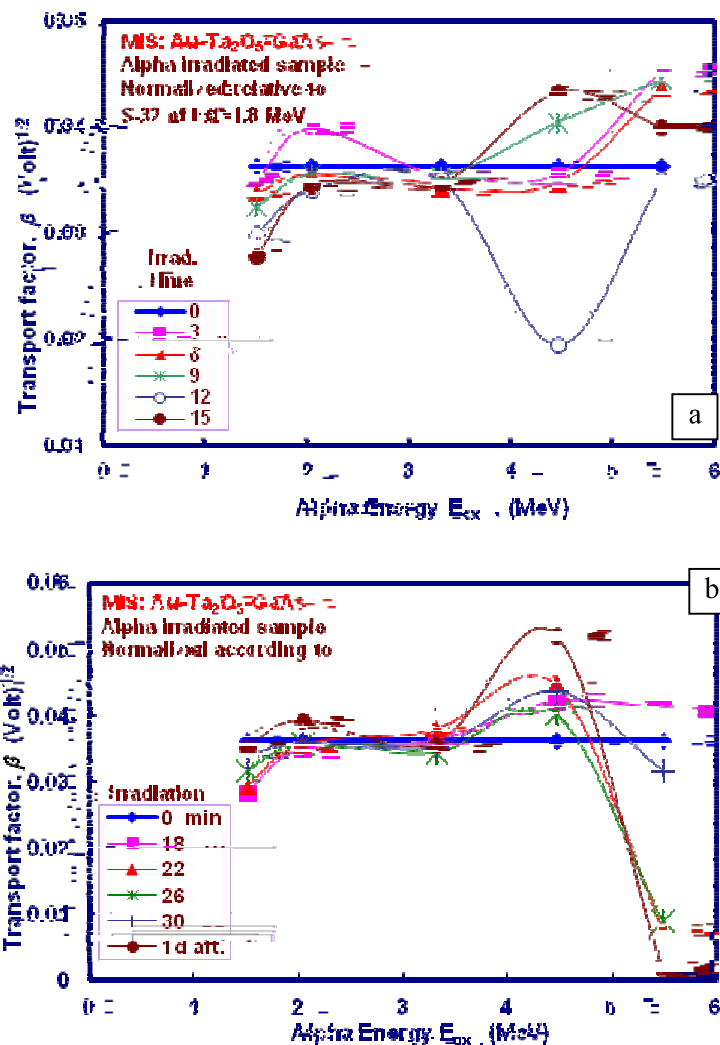
**الجدول (3):** قيم عامل النقل للتيار ( $\beta$ ) للنباط القياسي غير المشععة والنباط المشععة بطاقة ألفا مختلفة لأزمان تشيع مختلفة

Sample No.	نباط مشععة بجسيمات ألفا					نباط غير مشععة (قياسية)
	S-27	S-34	S-28	S-32*	S-22	
	E $\alpha$ (MeV)	5.1	4	3	1.8	1.2
Irrd. Time t <sub>irr</sub> min	$\beta$ (V $^{1/2}$ )					$\beta$ (V $^{1/2}$ )
0	0.0363	0.0363	0.0363	0.0363	0.0363	S-32 0.0363
3	0.0454	0.0356	....	0.0399	.....	S-27 0.0363
6	0.0437	0.0347	0.0342	0.0355		S-17 0.0363
9	0.0445	0.0405	0.0354	0.0356	0.0325	S-18 0.0363
12	0.0351	0.0195	....	0.0341	.....	S-24 0.0363
15	0.040	0.0433	0.0347	.....	0.0278	S-3 0.0363
18	0.0411	0.0422	.....	0.0349	.....	S-14 0.0363
22	0.0079	0.0448	0.038	0.0356	0.0293	S-7 0.0363
26	0.009	0.0404	0.0344	.....	0.0317	S-28 0.0363
30	0.0318	0.0437	0.0353	0.0359	0.0338	
After 1day	0.0018	0.0522	0.0356	0.0393	0.0351	

\*The results of the samples are normalized according to sample S-32.



الشكل (5): العلاقة بين عامل النقل للتيار ( $\beta$ ) وزمن التشيع بطاقة ألفا مختلفة من جسيمات ألفا



الشكل (6): العلاقة بين عامل النقل للتيار ( $\beta$ ) وطاقة جسيمات ألفا للنباط المشععة بأزمان تشيع مختلفة

## الاستنتاجات

أشعة جسمية تؤثر في موقع محددة أو معينة في المادة المقصوفة وتقوم بإحداث تلف في مناطق سقوطها في حين تبقى المناطق الأخرى سليمة دون تأثير، وذلك على العكس من تأثير أشعة جاما المعروفة؛ إذ يزداد التيار بشكل نظامي مع زيادة جرعات جاما لكنها تؤثر في جميع أجزاء النبطة بالدرجة نفسها. كذلك يحدث تقويم عالي للتيار في النبطة لبعض حالات التشيع عند أزمان تشيع معينة ولطاقات معينة، بينما ينعدم في حالات أخرى من التشيع اعتماداً على مقدار الطاقة المشععة ومدى تأثيرها في النبطة، وكذلك على زمن التشيع بحيث يتساوى تيار الانحياز الأمامي تقريباً مع تيار الانحياز العكسي.

من النتائج التي تم الحصول عليها أن أعظم فقدان في طاقة ألفا في النبطة المستخدمة (أعظم ترسب للطاقة في المادة) يحدث عند 1.2 MeV، وهي قيمة تقرب من أعظم فقدان لطاقة ألفا يحدث عند 1 MeV وعلى مسافة قريبة من السطح البيني لـ Ta<sub>2</sub>O<sub>5</sub>-GaAs. وإن خصائص I-V للنبيطة عند التشيع أوضحت وجود تأثير دائم في الخواص الكهربائية لطاقتى التشيع 5.1 MeV و 1.2 MeV ناتج من حصول تلف دائم في مادة النبطة، كما اتضح وجود تأثير وقتي عند الطاقة 4 MeV، في حين أن الطاقتين (1.8, 3) MeV لم تحدثا تأثيراً ملحوظاً في خصائص النبطة. ويلاحظ أن تأثير جسيمات ألفا في خصائص I-V للنبيطة هو تغير غير نظامي يتراوح بين زيادة ونقصان أو ثبوت في التيار مع زيادة الطاقة وكذلك مع زيادة زمن التشيع، لأنها

## المصادر والمراجع

- [12] Zakharenkov, L.F., Kozlovskii, V.V. and Shustrov, B.A., *Phys. Stat. Sol. (a)*, 117 (1990) 85.
- [13] Smyntyna, V.A., Kulinich, O.A., Iatsunskyi, I. R. and Marchuk, I.A., *Radiat. Meas.*, 46 (2011) 1650.
- [14] Ziegler, J.F., Ziegler, M.D. and Biersack, J.P., *Radiat. Meas.*, 37 (2003) 553.
- [15] Zhu, R.Y., *Nucl. Instr. and Meth. A*, 413 (1998) 297.
- [16] Zaininger, K.H. and Waxman, A.S., *IEEE Transactions on Electron Devices*, ED-16(4) (1969) 333.
- [17] Derbenwich, G.F. and Gregory, B.L., *IEEE Transactions on Nuclear Science*, NS-22(6) (1975) 2151.
- [18] Johnson, W.C., *IEEE Transactions on Nuclear Science*, NS-22(6) (1975) 2144.
- [19] Holmes-Siedle, A.G. and Zaininger, K.H., *IEEE Trans. on Reliability*, 1(1) (1968) 34.
- [20] Ercan Yilmaz, E., Dogan, I. and Turan, R., *Nucl. Instr. and Meth. in: Physics Research B*, 266 (2008) 4896.
- [21] Simmons, J.G., "DC Conduction in Thin Films", M&B Monograph EE/5, (General ed. J. Gordon Cook, Ph.D), (FRIC, Mills & Boon, Limited, London, 1971).
- [22] Gueorguiev, V.K., Aleksandrova, P.V., Ivanov, T.E. and Koprinarova, J.B., *Thin Solid Films*, 517 (2009) 1815.
- [23] "Tantalum Pentoxide" from Wikipedia, the Free Encyclopedia (1997), "Reade Advanced Materials", P.O. Box 15039, Pawtucket Avenue; Riverside, RI, U.S.A.
- [1] Desu, C. S., Master Thesis, Materials Science and Engineering, Blacksburg, Virginia, (1998).
- [2] Osburn, C.M., Kim, I., Han, S.K., De, I., Yee, K.F., Gannavaram, S., Lee, S.J., Lee, C.H., Luo, Z.J., Zhu, W., Hauser, J.R., Kwong, D.L., Lu, Covsky, G., Ma, T.P. and Ozturk, M.C., *IBM J. RES. & DEV.*, 46(2/3) (2002) 299.
- [3] Winarski, T.Y., *IEEE Electrical Insulation Magazine*, 17(6) (2001) 34.
- [4] Russell, C.H., Owens, S.M. and Deslattes, R.D., *AIP Conference Proceedings*, 550(1) (2001) 140.
- [5] Mohammed, M.A., *J. Educ. Sci.*, 19 (1994) 94.
- [6] Ligatchev, V., Rusli, E., Keng, L-V., Khuen, L.F., Rumin, Y. and Zhao, J., Technical Proceedings of the 2005 NSTI Nanotechnology Conference and Trade Show, Volume 2, Chapter 5, Surfaces and Films, (2005) pp. 381–384.
- [7] Nathwang, W.D., Cole, M.W., Hirsch, S.G., Demaree, J.D., Ngo, E. and Hubbard, C.W., *Materials Science and Technology*. (Abstract) (2006).
- [8] Pakma, O., Serin, N. and Serin, T., *J. Mater. Sci.*, 44 (2009) 401.
- [9] Ergin, F.B., Turan, R., Shishyanu, S.T. and Yilmaz, E., *Nucl. Instr. and Meth. in: Physics Research B* 268 (2010) 1482.
- [10] Knoll, F.G., "Radiation Detection and Measurement", (John Wiley and Sons, New York, 1979).
- [11] Sykes, D.A. and Harris, S.J., *Nucl. Instr. and Meth.*, 94 (1971) 39.